

SUPPORTING INFORMATION

Synthesis and Antiproliferative Activity of New Cyclodiprenyl Phenols against Select Cancer Cell Lines

Bastián Said ¹, Iván Montenegro ², Manuel Valenzuela ³, Yusser Olguín ⁴, Nelson Caro ⁵, Enrique Werner ⁶, Patricio Godoy ⁷, Joan Villena ^{8,*} and Alejandro Madrid ^{9,*}

¹ Departamento de Química, Universidad Técnica Federico Santa María, Av. Santa María 6400, Vitacura 7630000, Santiago, Chile; bastian.said@usm.cl

² Escuela de Obstetricia y Puericultura, Facultad de medicina, Campus de la Salud, Universidad de Valparaíso, Angamos 655, Reñaca, Viña del Mar 2520000, Chile; E-Mail: ivan.montenegro@uv.cl

³ Laboratorio de Microbiología Celular, Instituto de Investigación e Innovación en Salud, Facultad de Ciencias de la Salud, Universidad Central de Chile, Santiago 8320000, Chile; E-Mail: manuel.valenzuela@uccentral.cl

⁴ Center for Integrative Medicine and Innovative Science (CIMIS), Facultad de Medicina, Universidad Andrés Bello, Santiago 8320000, Chile; yusser.olguin@unab.cl

⁵ Centro de Investigación Australbiotech, Universidad Santo Tomás, Avda. Ejército 146, Santiago 8320000, Chile; ncaro@australbiotech.cl

⁶ Departamento De Ciencias Básicas, Campus Fernando May Universidad del Biobío. Avda. Andrés Bello s/n casilla 447, Chillán 3780000, Chile; ewerner@ubiobio.cl

⁷ Instituto de Microbiología Clínica, Facultad de Medicina, Universidad Austral de Chile, Los Laureles s/n, Isla Teja, Valdivia 5090000, Chile; patricio.godoy@uach.cl

⁸ Centro de Investigaciones Biomedicas (CIB), Facultad de Medicina, Campus de la Salud, Universidad de Valparaíso, Angamos 655, Reñaca, Viña del Mar 2520000, Chile; E-Mail: juan.villena@uv.cl

⁹ Laboratorio de Productos Naturales y Síntesis Orgánica, Departamento de Química, Facultad de Ciencias Naturales y Exactas, Universidad de Playa Ancha, Avda. Leopoldo Carvallo 270, Playa Ancha, Valparaíso 2340000, Chile; E-Mail: alejandro.madrid@upla.cl

* Correspondence: alejandro.madrid@upla.cl; Tel.: +56-032-250-0526

Supplementary Material

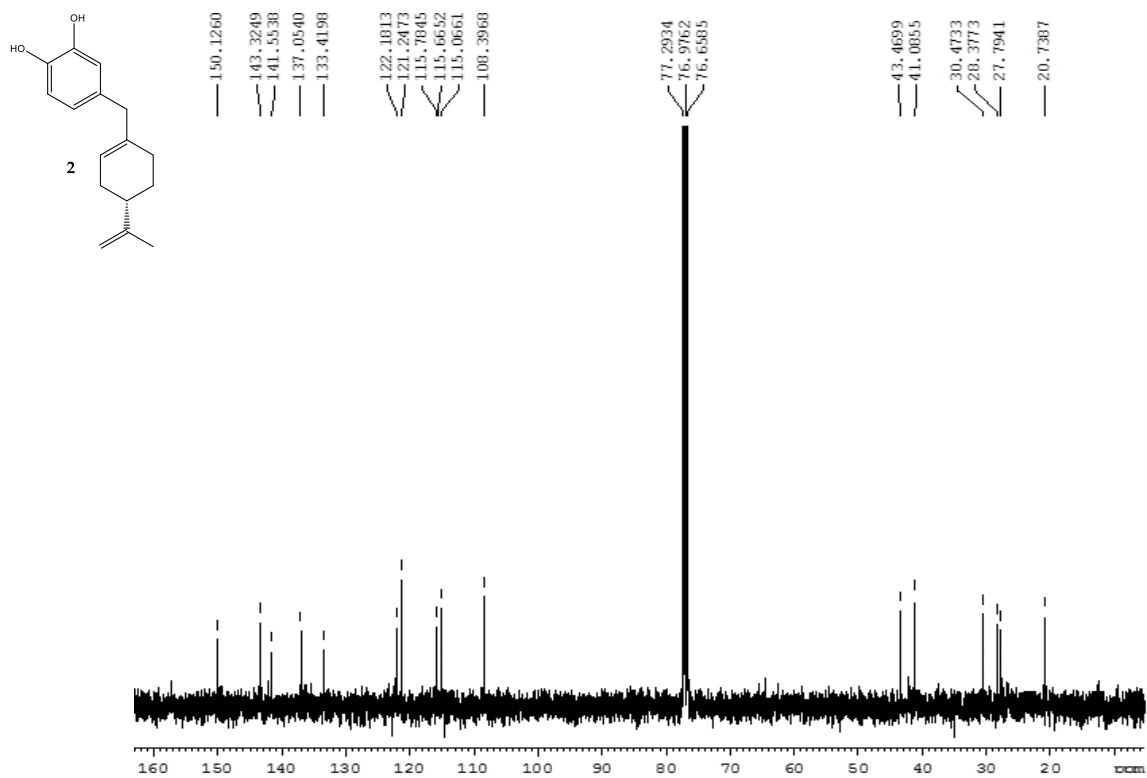
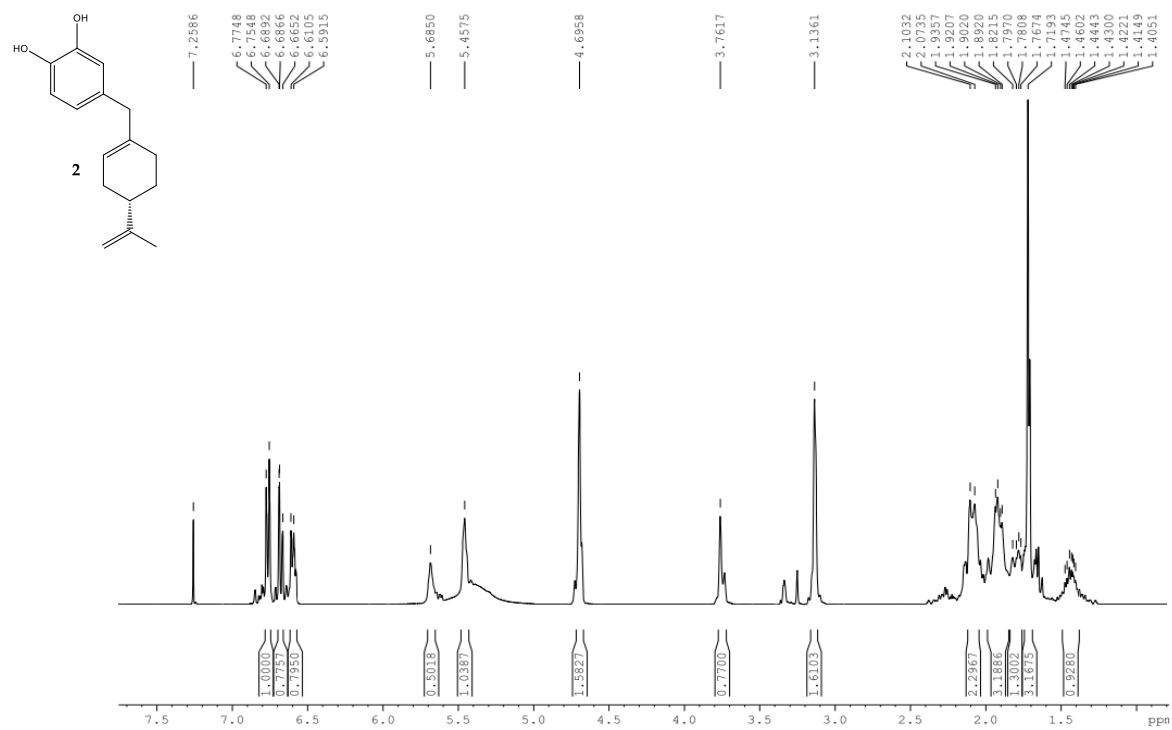
S.1 Nuclear magnetic resonance spectra

S.2 High-resolution mass spectra

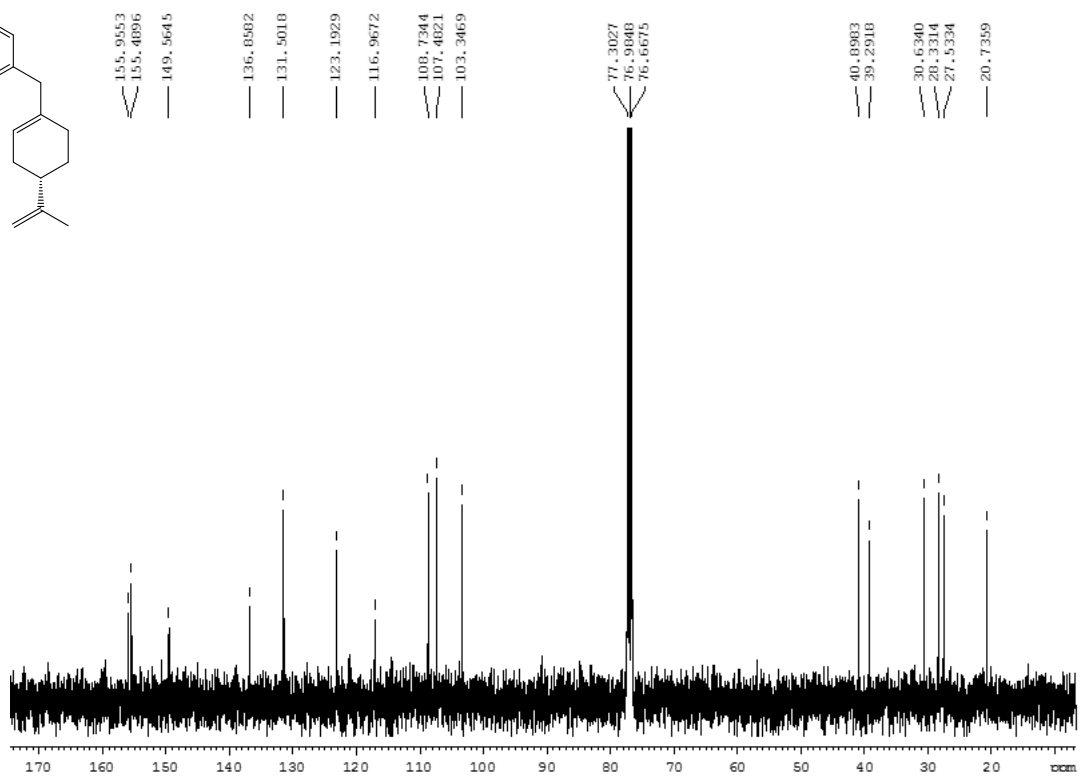
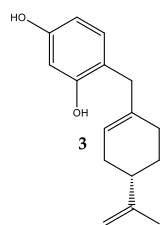
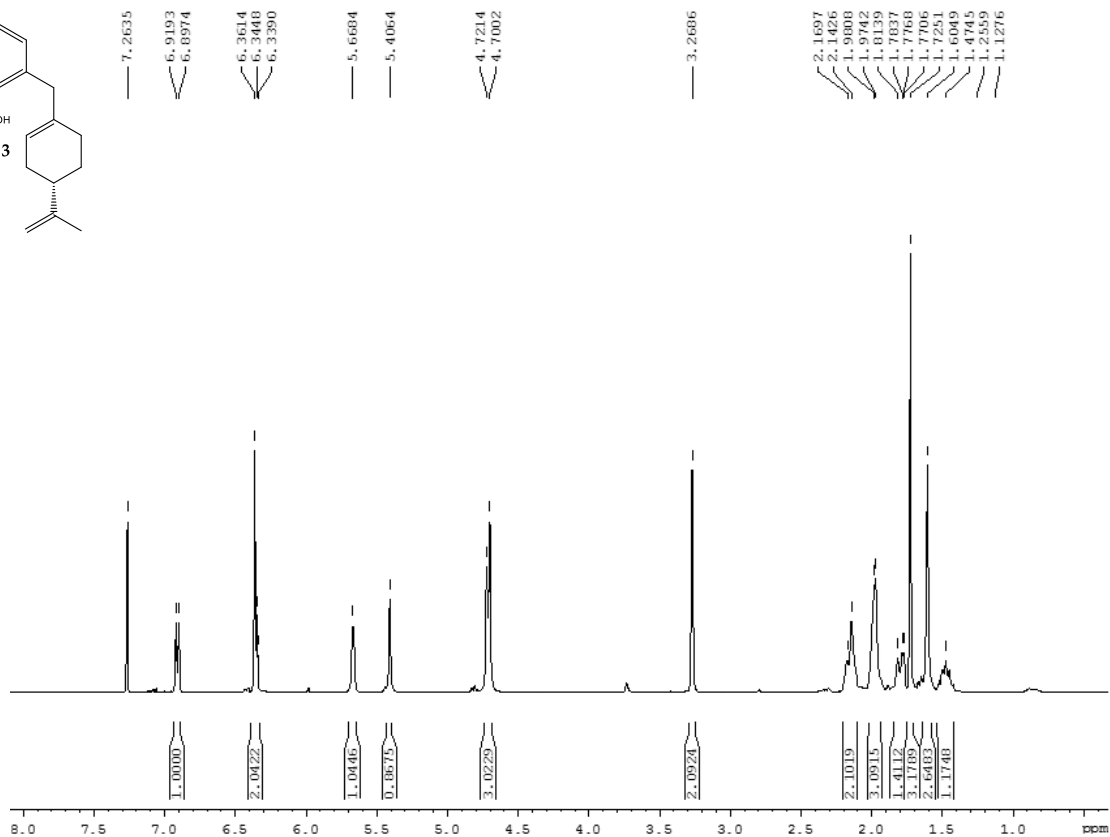
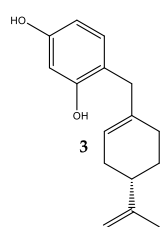
S.3 Infrared spectra

S.1 Nuclear magnetic resonance spectra

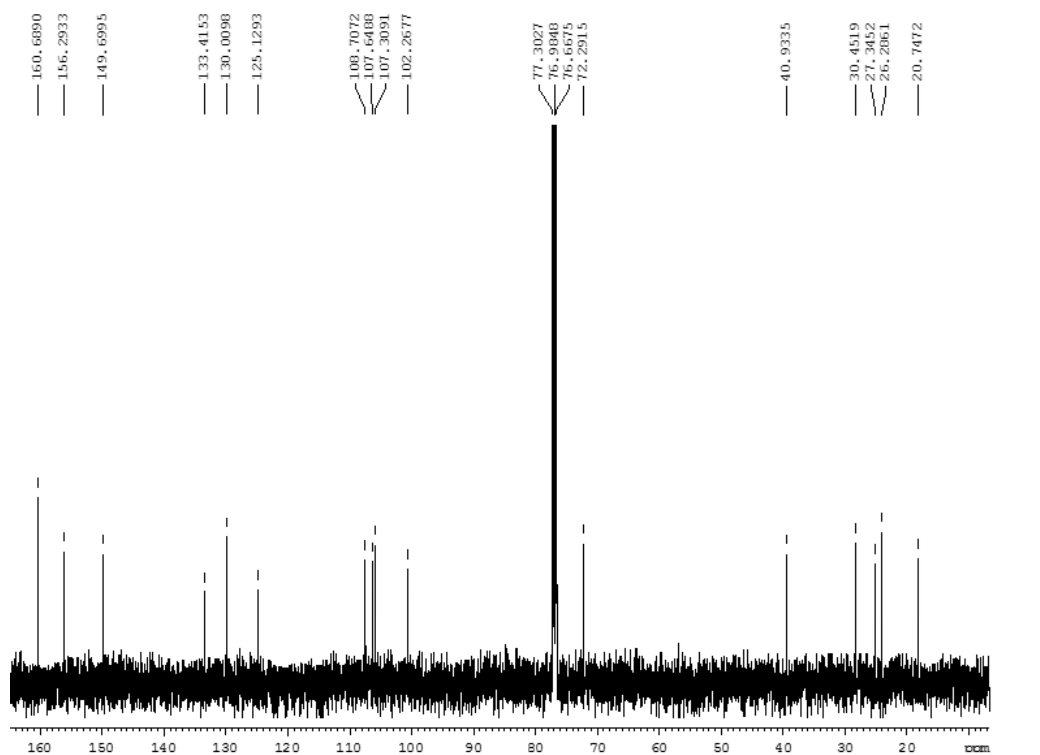
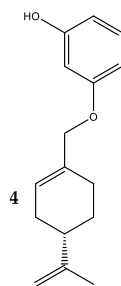
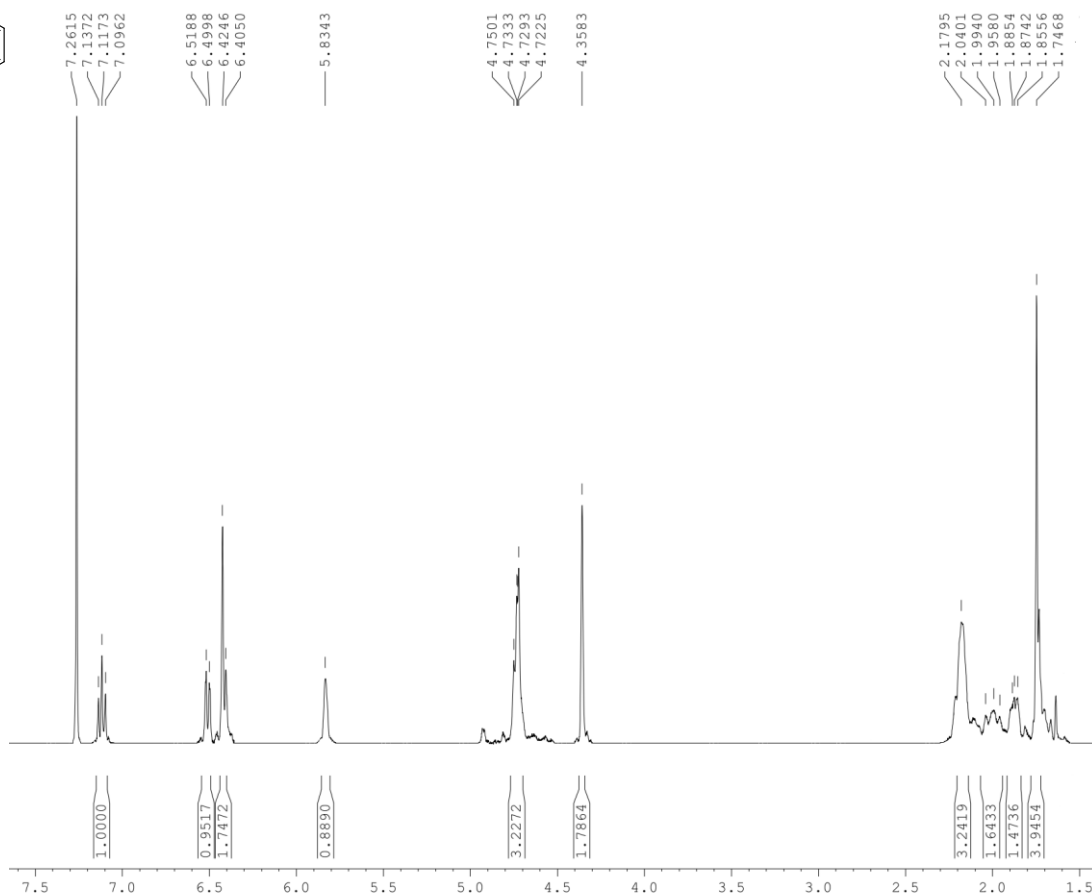
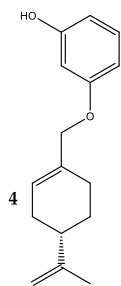
Compound 2



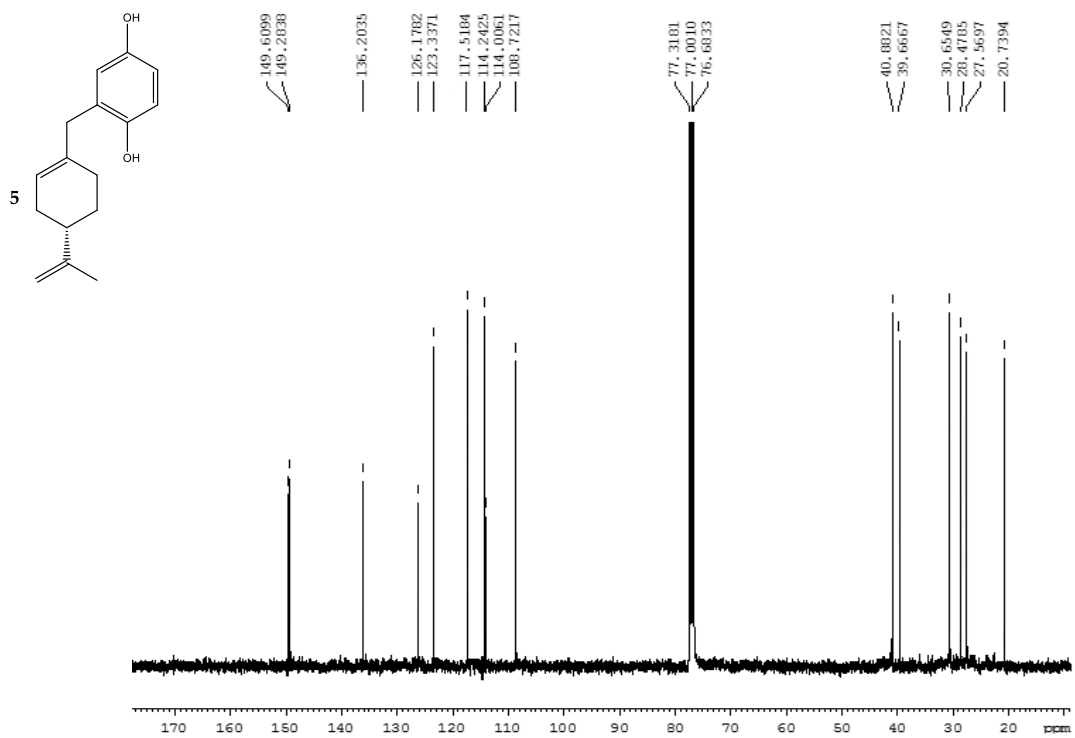
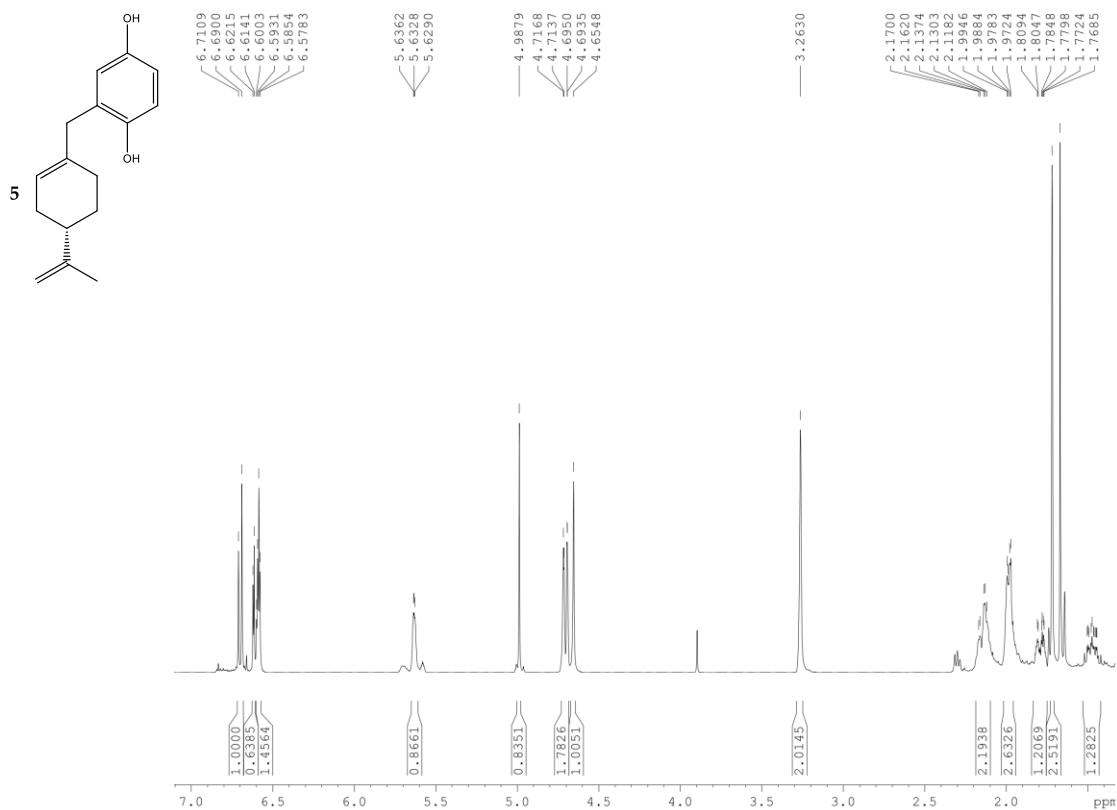
Compound 3



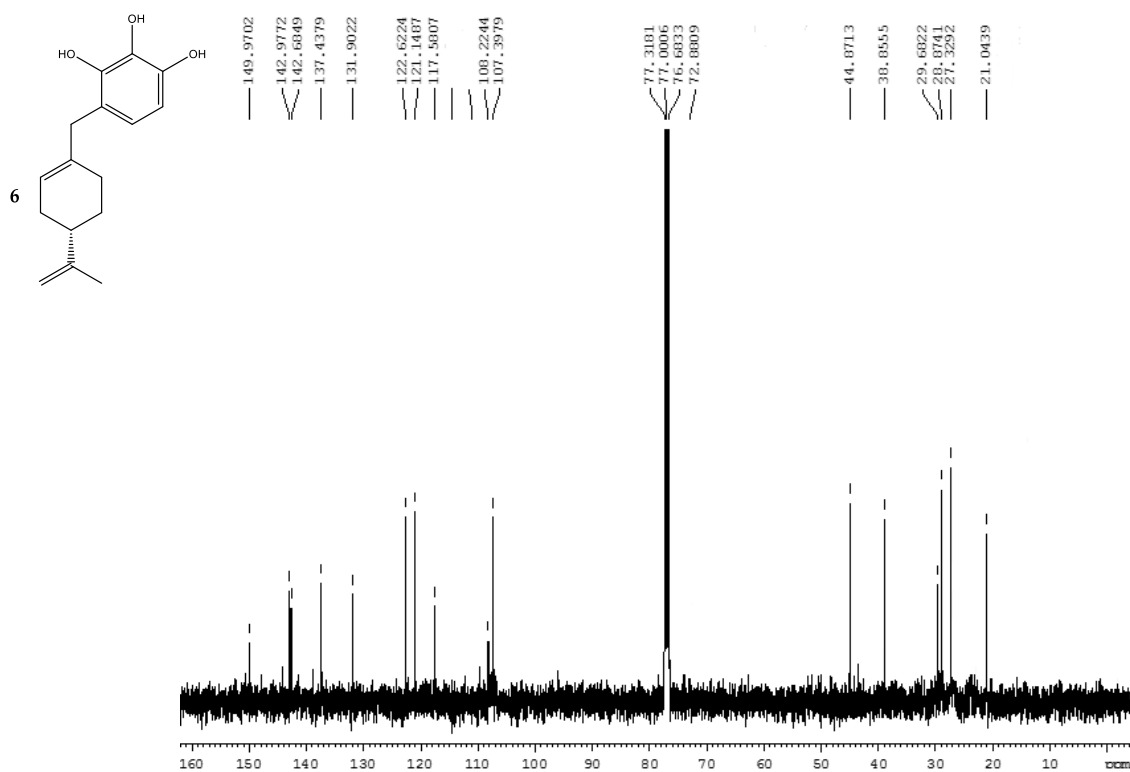
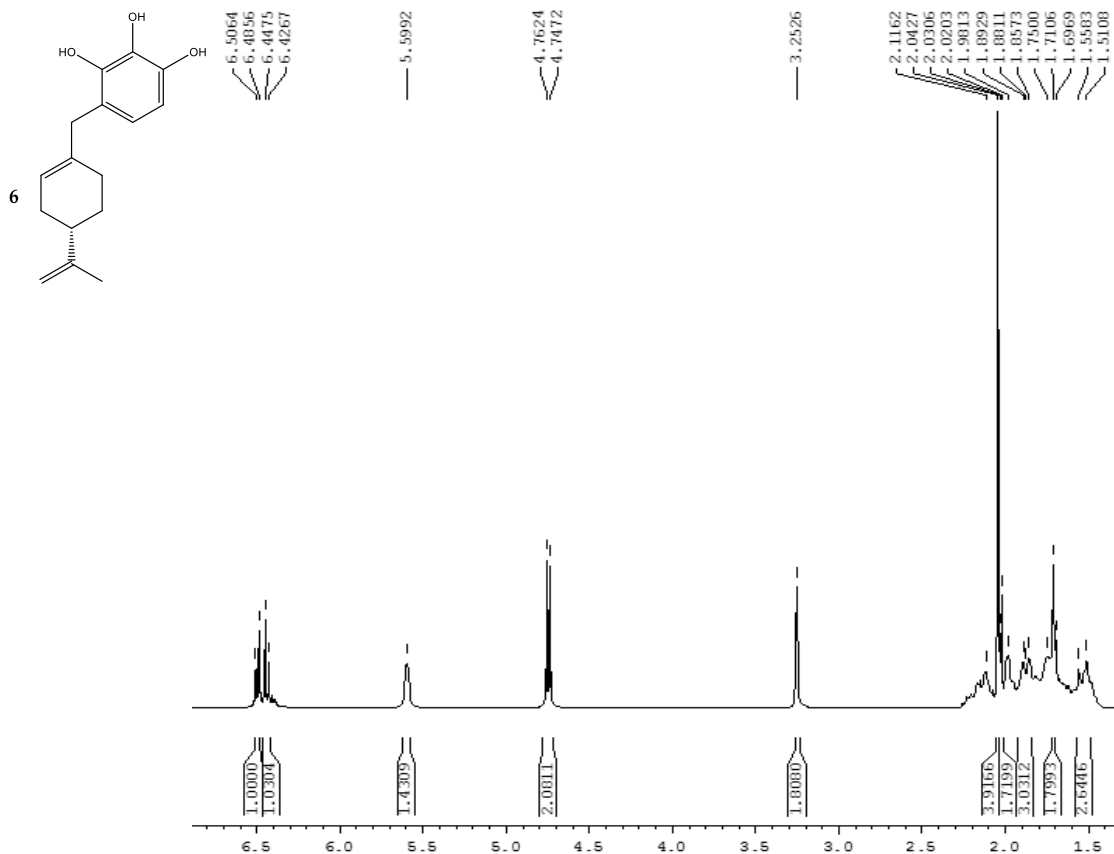
Compound 4



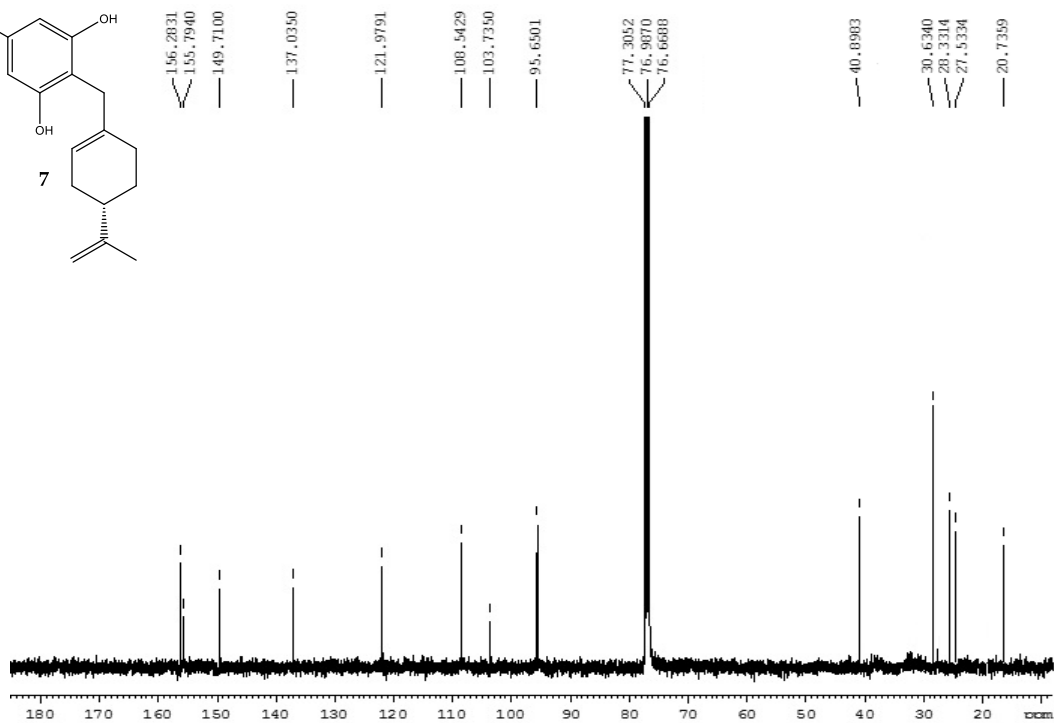
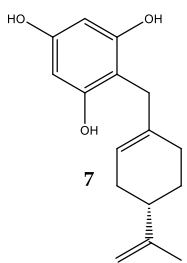
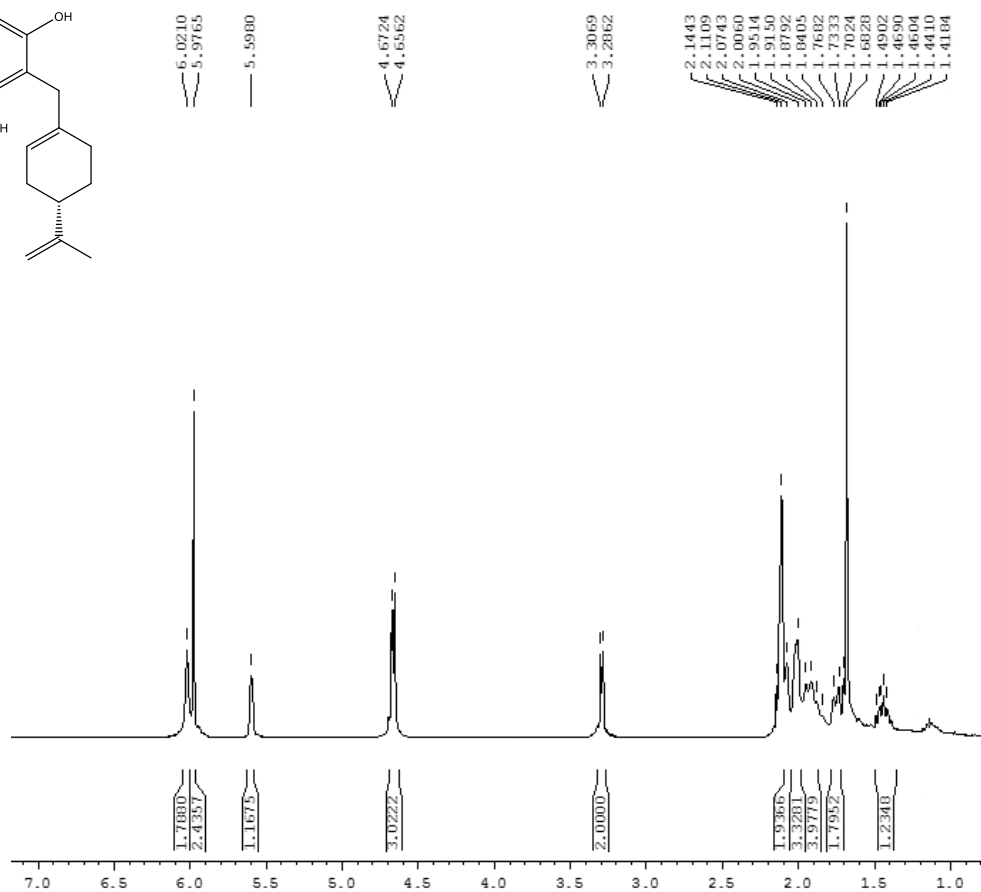
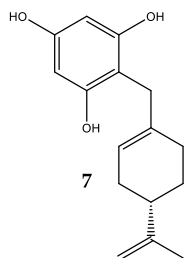
Compound 5



Compound 6



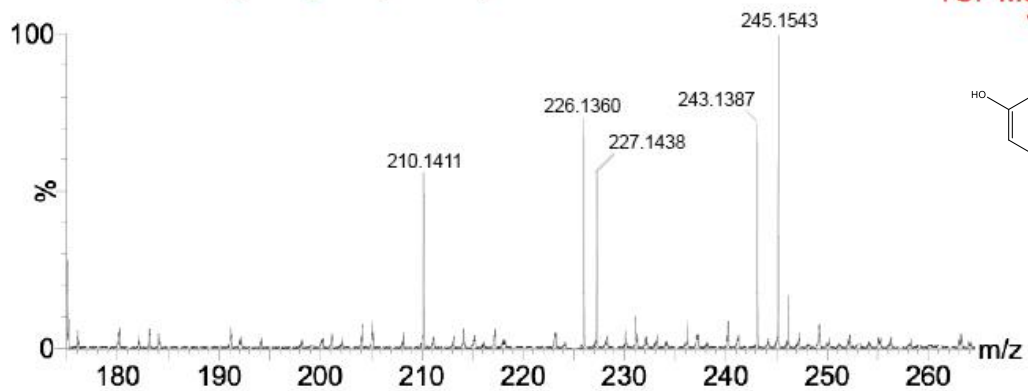
Compound 7



S.2 High resolution mass spectrometry

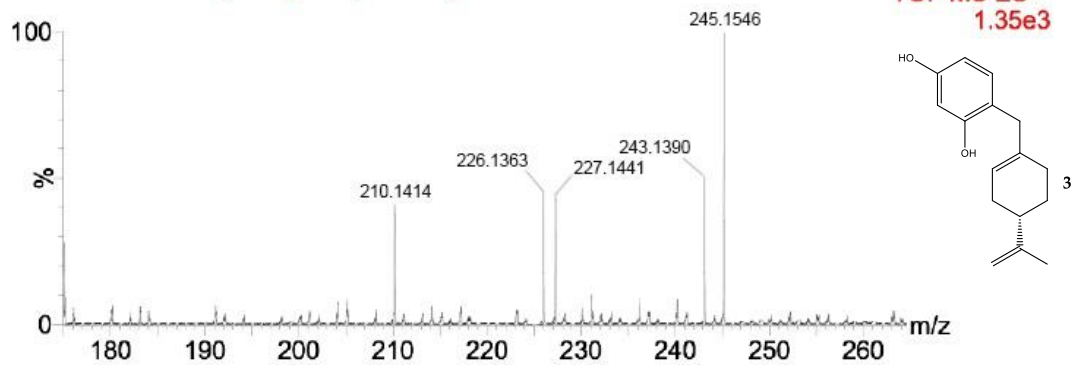
Compound 2

LUISEP-AL-4 286 (5.291) Cm (277:286)



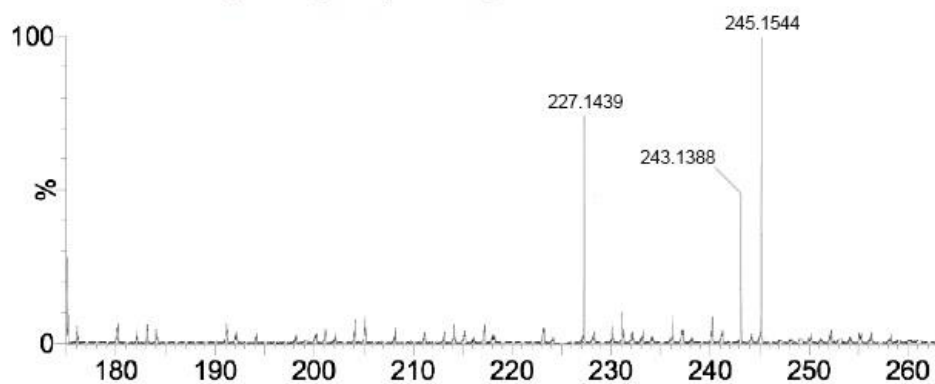
Compound 3

LUISEP-AL-4 286 (5.291) Cm (277:286)

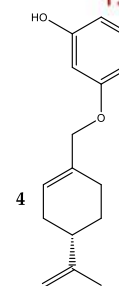


Compound 4

LUISEP-AL-4 683 (12.634) Cm (681:705)

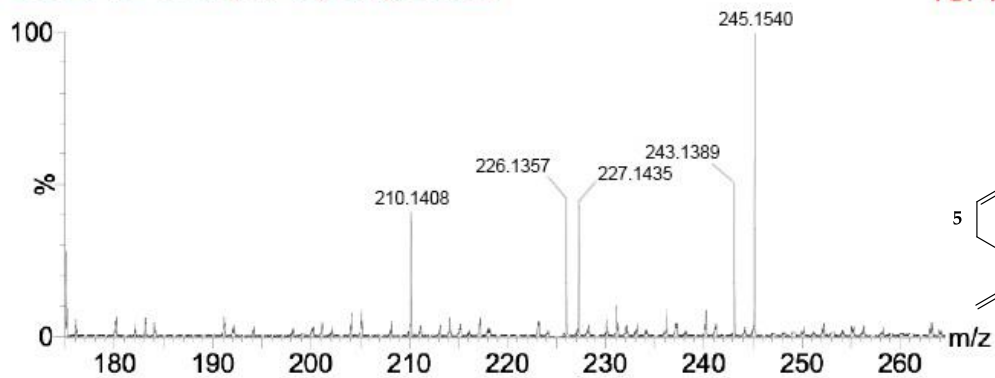


TOF MS ES+
1.05e3

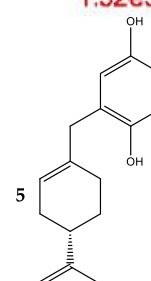


Compound 5

LUISEP-AL-4 797 (14.743) Cm (796:825)

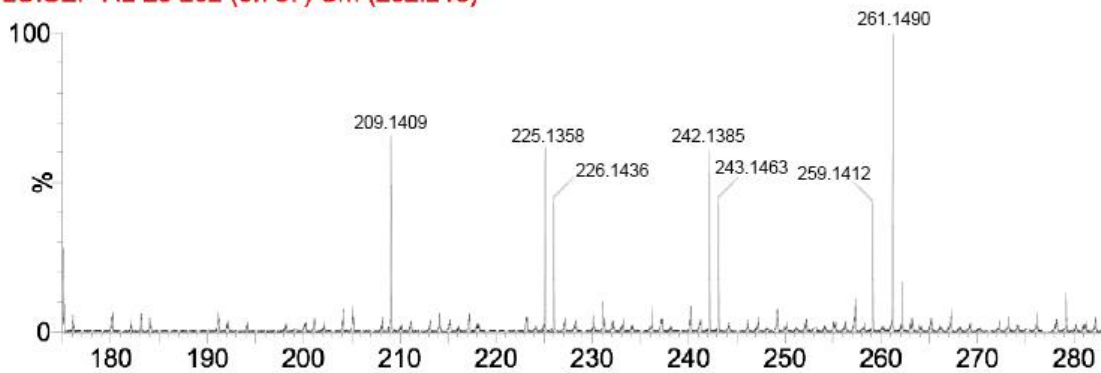


TOF MS ES+
1.52e3

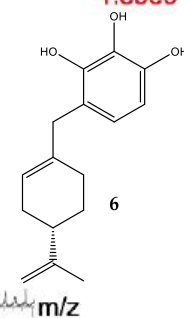


Compound 6

LUISEP-AL-25 202 (3.737) Cm (202:213)

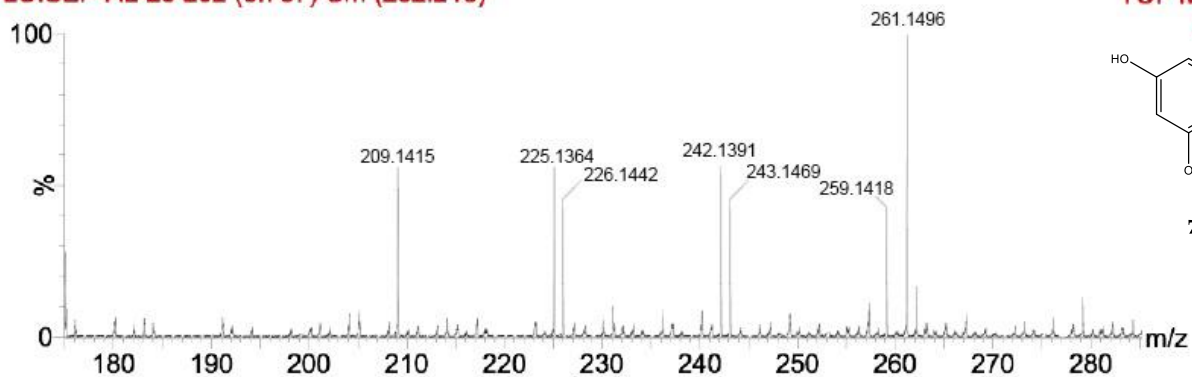


TOF MS ES+
1.85e3

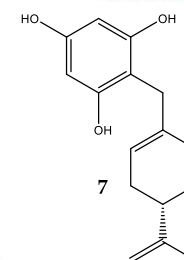


Compound 7

LUISEP-AL-25 202 (3.737) Cm (202:213)

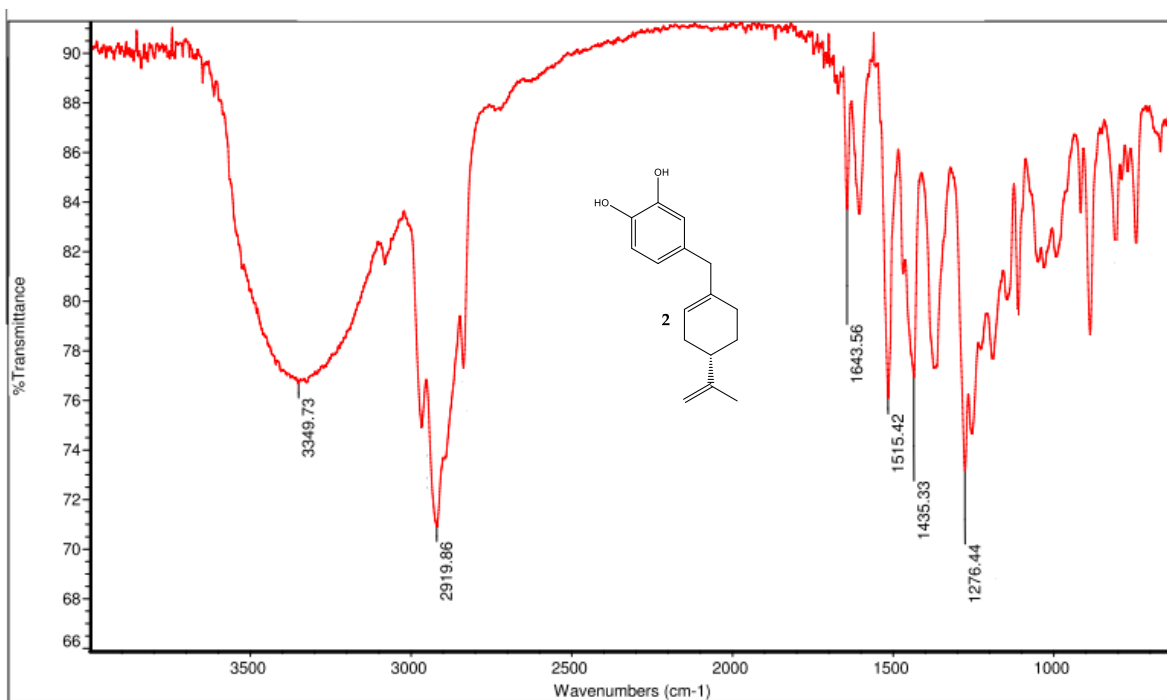


TOF MS ES+
2.02e3

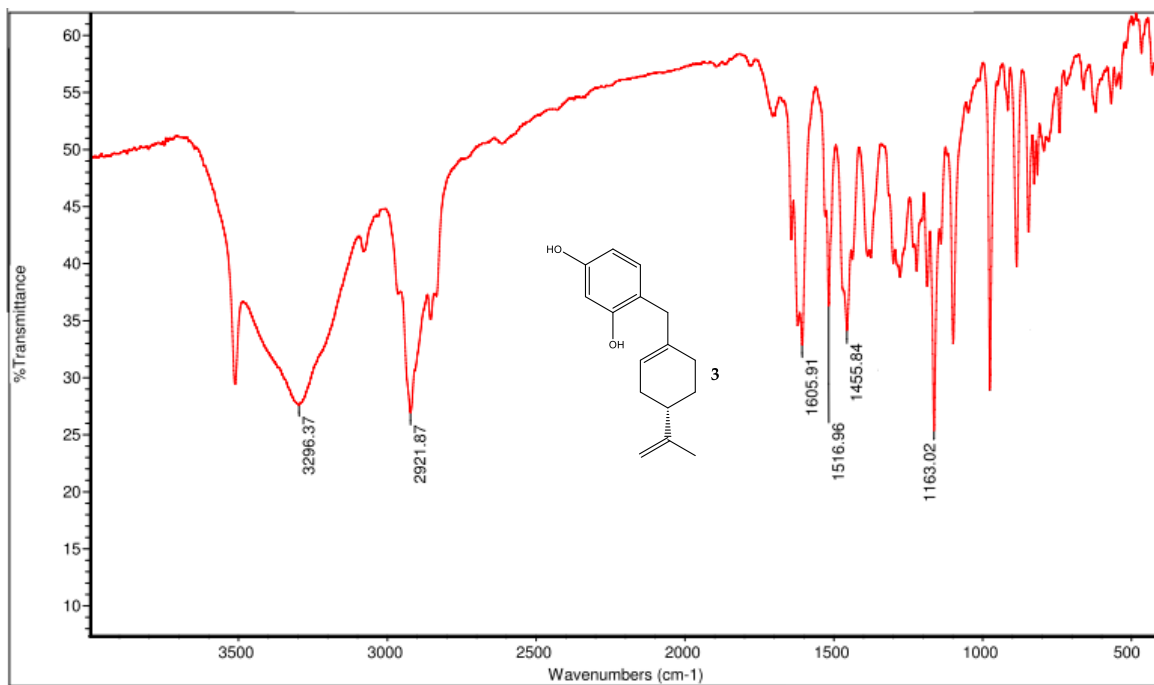


S.3 Infrared spectra

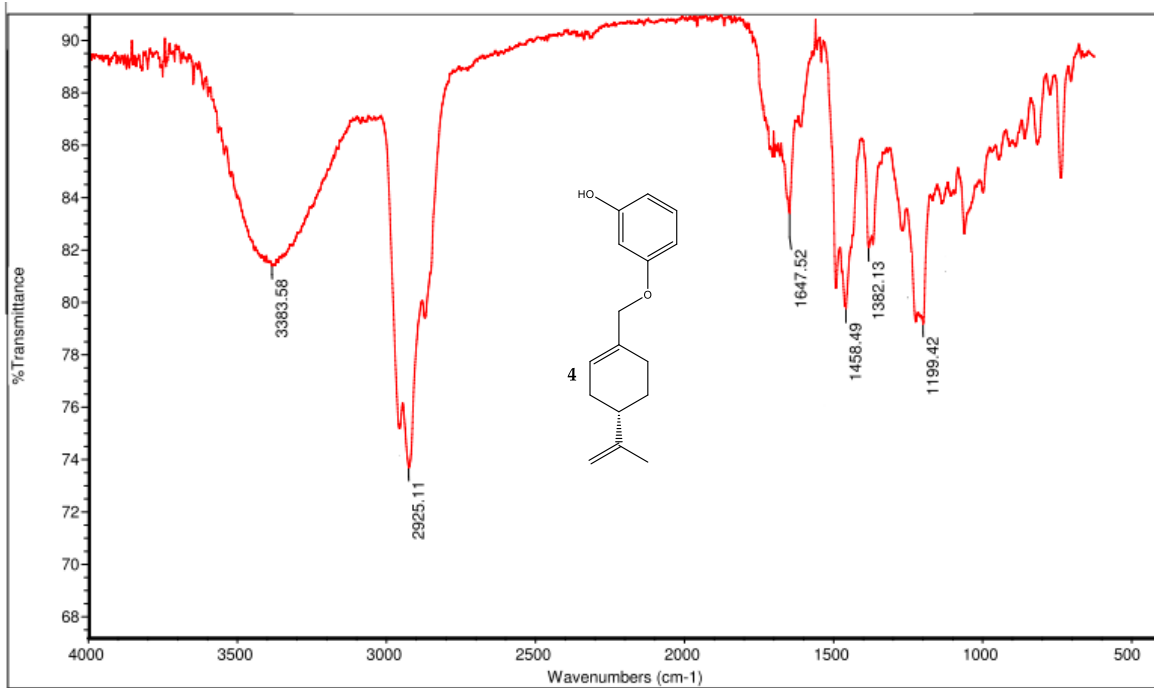
Compound 2



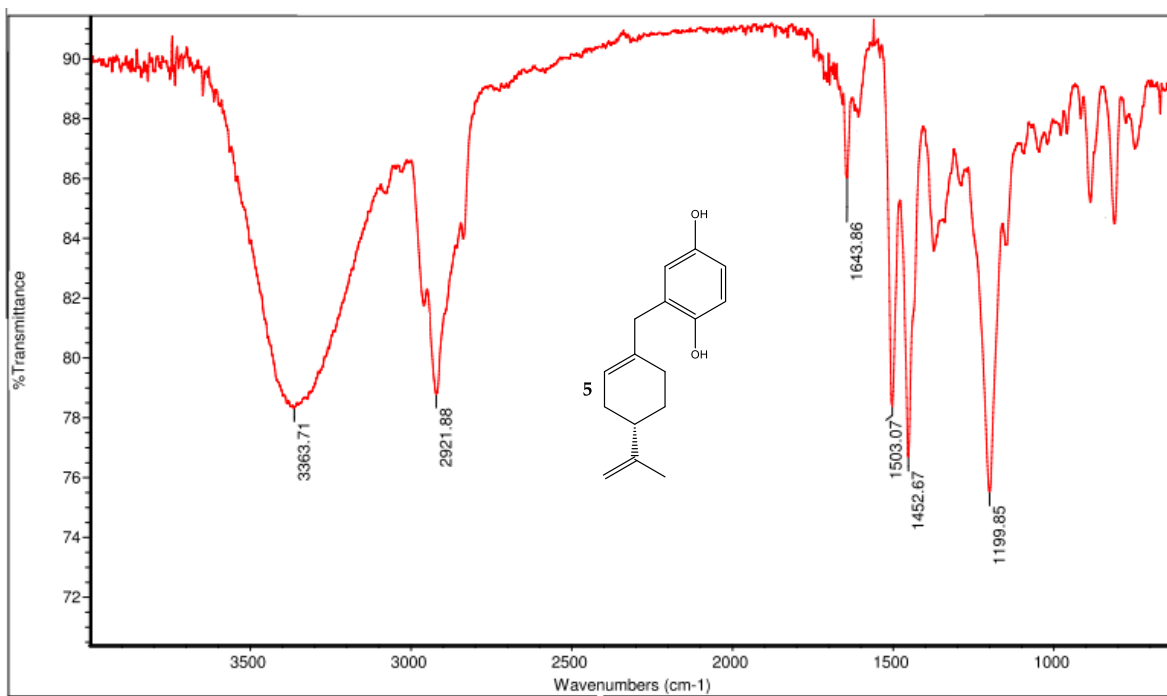
Compound 3



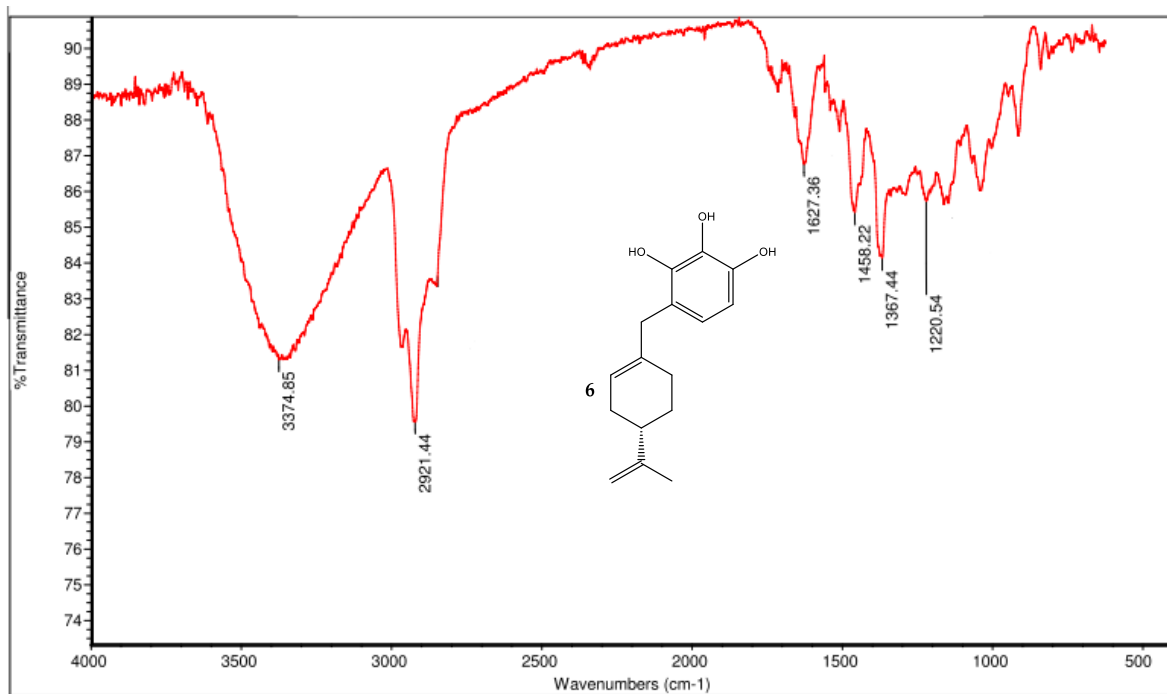
Compound 4



Compound 5



Compound 6



Compound 7

